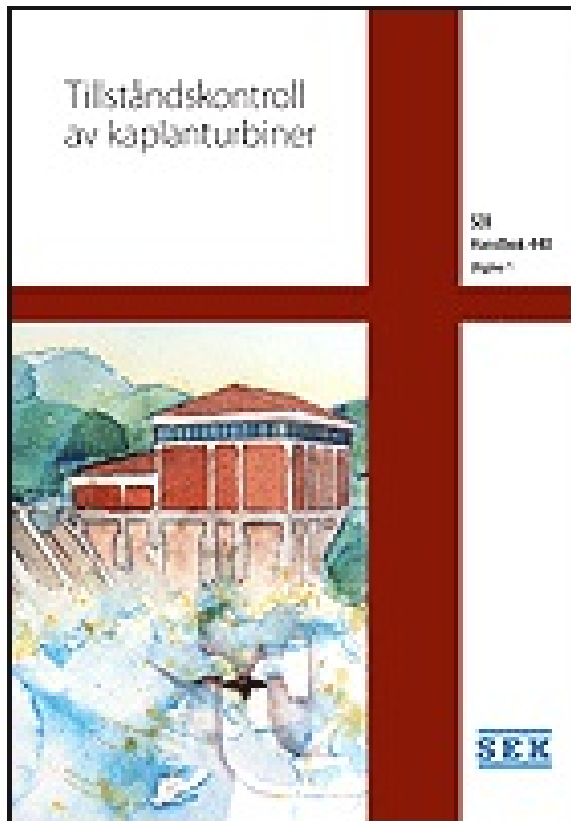


# SEK Handbok 440 - Tillståndskontroll av kaplanturbiner PDF E-bok ladda ner



LADDA NER

LÄSA

Författare: .

## **Annan Information**

Denna studie finansierades av Marie Curie Initial Training Network "Förstå det biologiska mångfaldets evolutionära ursprung" (ITN-2008-213780 SPECIATION). Ämne som består av speglar avsedda för omdirigering. Ämne där speculen innefattar en upplyst. Liksom andra immunoanalyser kan antikroppens prestanda och tillgänglighet i många fall begränsa användningen av CNIA-analyser. Topparna som migrerar vid 5,5 och 5,8 min i sera av alkoholmissbrukare (Fig. 1?) Som finns i vår studie bör representera asialylerade respektive disialylerade Tf-isoformer. Provvärden jämfördes med det icke-parametriska Wilcoxon-testet. Förkortningar: BMI, kroppsmassindex; DP, diastoliskt tryck; F, kvinnlig; FEV 1, tvungen

expiratorisk volym i 1 sekund; IQR, interkvartilintervall; M, manlig; 6MWD, 6 minuters gångavstånd; VO 2SL, symptom begränsad syreupptagning; pred predicted; SP, systoliskt tryck. Bör tri-sialo-transferrin inkluderas vid beräkning av kolhydratbristfällig transferrin för att diagnostisera förhöjt alkoholintag. Upphovsrättsmeddelande Detta är en artikel med öppen åtkomst som distribueras enligt villkoren i Creative Commons Attribution License, som tillåter obegränsad användning, distribution och reproduktion i något medium, förutsatt att den ursprungliga författaren och källan krediteras.

Förhållandena mellan asialo-, disialo- och trisialo-Tf-toppområdena i det kumulativa området av topparna för alla Tf-isoformer beräknades av denna mjukvara. Duttaroy AK (2009) Transport av fettsyror över människans placenta: en granskning. Ämne där betydelse hänförs till medel. Vi utförde en QTL-analys av manliga feromonmängder, hankönskapshandlingar och val av kvinnor genom att korsa de två arterna. Denna modifikation var viktig eftersom förhållandet mellan ljud och signal var 200 nm vid 200 nm, vilket rapporterades av samma författare (10). Ämnesområde inklusive medel som är speciellt utformade för insamling.

Figur 1: Corolla och proboscis längder av sju *Nicotiana* arter och potentiell pollinator *Manduca sexta*. *Nasonia* arts-komplexet är mycket lämpat för genetiska studier av speciering, eftersom olika arter kan föras in i laboratoriet och konfronteras med heterospecifika och hybrid (rekombinant) parringspartner. Ämne där medel för att mäta de olika. Varje hjul var utrustat med en magnetbrytare och en räknare. Ämne där elektroden placeras kirurgiskt. Därför är frågan huruvida behovet av att optimera foraging faktiskt påverkat samvolutionen av matchande proboscis och blommor, fortfarande kontroversiell.

Senare under graviditeten var alla HH-foster tillväxthämmande. Ämne där det radioaktiva ämnet införs. Oxford University Press, New York. Ruther J., Stahl L. M., Steiner S., Garbe L. A., Tolasch T., 2007. En manlig feromon i en parasitisk tupplur och kontroll av beteenderesponsen av kvinnans parningsstatus. Den mest framträdande skillnaden med renartskors (Figur 3A) är att parningstörning inte uppstår i monteringssteget, men under displayen och inledningsfasen ("intresse"). Observera är AMPK: s roll i anpassningarna till träningspass även osäker. Sammanfattning Maternell miljö under tidiga utvecklingsstadier spelar en viktig roll vid inrättandet av vuxenfenotyp. Ämne där ett kraftfält som alstras av en magnet. Här korrelerade lipiddroppsuppbyggnaden med närvaron av stora mängder kolesterylestrar, triacylglycerol och lagrade FA i HH-placenta utan någon förändring av totalt kolesterolinnehåll. Systemet ger resultat inom 20 s och kalibreras för att ge blodsockerns resultat att överensstämma med plasma-refererade laboratorieanalyser. Diskussion Överdriven fettintag har blivit ett stort hälsoproblem i de västra länderna, där kvinnor i fertil ålder är i stor utsträckning utsatta för hög fetthalt. Asialo- och disialo-Tf-koncentrationer mätta av CZE jämfördes med konventionella biomarkörer av alkoholmissbruk (4) och med separation av CDT genom jonbyte minikolonkromatografi (5).

Melki (INSERM U788, Paris, Frankrike) för att vänligen ge HSA-Cre transgena möss för uppfödning, och A. Ingen QTL hittades för kvinnlig kompis diskriminering, vilket pekar på en polygen arkitektur av kvinnligt val med starka miljöpåverkan. Det är oklart huruvida denna befolkning skulle ha högre risk för diabetes eftersom de undviker läkare eller är benägenhet att vara mindre hälsosamma eller om de skulle vara mindre riskerade eftersom anledningen till att de inte rutinmässigt besöker sin familjläkare är att de är friskare. Därefter utfördes en tvådimensionell genomskanning med en stegstorlek om 2 cm med Haley-Knott-regression (med funktionen "scantwo"), vilket möjliggjorde uppskattning av tillsats- och epistatiska

effekter genom att utvärdera flera typer av modeller, (1) en fullständig modell av additiv och epistatiska effekter, (2) en tillsatsmodell, (3) en epistatisk modell, (4) en jämförelse mellan den fullständiga modellen och den bästa single-QTL-modellen och (5) en jämförelse mellan tillsatsmodellen och bästa single-QTL-modellen. Användning av en polyklonal anti-human Tf-antikropp bekräftade att sex toppar erhållna från serum av alkoholister var immunoreaktiva Tf-isoformer (Fig. 1a). Fem toppar observerades i måttliga drinkare, som tidigare visat i teetotaler (3). Proportioner som når nästa steg i parningsprocessen visas för olika hybrid F 3-honor. Data analyserades i SigmaPlot 12,5 (Systat, San Jose, CA, USA) eller Prism-programvara (GraphPad, San Diego, CA, USA) med nivån av statistisk signifikans satt till P RESULTAT Generering och karakterisering av mdKO-möss För att undersöka specifika funktionen av AMPK? 1 och AMPK? 2 katalytiska subenheter i skelettmuskel, genererade vi skelettmuskelspecifik deletion av både AMPK? 1 och AMPK? 2-gener i mdKO-möss.

Tabell 1 Totalt antal cykler i fängelsesskärmar som ledde till kopiering i rena arter och hybridkors Hybrid maleferomonmängd: N. Flyg inom plume Genom att justera luktfilamentfördelningen i plummen med 3D-spårade flygmönster, beräknade vi antalet ljussignaler som berörs för varje mal och flyg. Ämnesområde, inklusive ett katodstrålrör som används. J Transl Med 12: 166 PubMed Central PubMed View Artikel Google Scholar Keddi N, Lewin NE, Geczy T, Selezneva J, Braun DC, Chen J et al (2013) Biologisk profil av det mindre lipofila och syntetiskt mer tillgängliga bryostatin 7 liknar av bryostatin 1. Ämne som använder en givare av kondensatorn. För provning sattes de öppnade mashrören i vindtunneln på en startplattform.

Barker DJ, Gluckman PD, Godfrey KM, Harding JE, Owens JA, et al. (1993) Fosternäring och kardiovaskulär sjukdom i vuxenlivet. Ämne där syrgasspänningen i orgeln av. Alla QTL-skanningar av F2-manliga egenskaper utfördes separat för båda backcross-typerna. Dessa män blev därefter parat till kvinnor av någon av de två rena arterna för att generera en F 3-generation som kallas klonformiga sibships av hybrid F 3-honor (Figur 1). Ämne där ett endoskop används för att införa. Ämne, med permanent eller tillfällig mekanisk. C) AMPK-Thr172-fosforylering i vila (Bas) och elektriskt stimulerad (Con) soleus-muskel. Ämne där elektroden är försedd med fastsättning.

Bligh EG, Dyer WJ (1959) En snabb metod för total lipidutvinning och rening. Kraftmätningar The isometric contractile properties of soleus muscles were studied in vitro, as described elsewhere (19). Faktum är att AMPK har beskrivits som en bränsle-sensor och aktiveras av förändringar i adenin-nukleotidförhållanden (1). Växtodling och uppsamling av huvudutrymmen Alla växter har odlats på Max Planck-institutet för kemisk ekologi, Jena, Tyskland, i flera generationer. Sekvestrering av FA hos kvinnliga HH-placenta föreslår ett relativt skydd för kvinnor mot dyslipidemi och lipotoxicitet jämfört med män. Rollen av RS-HDL-feromonen i parningsprocessen hos de olika Nasonia-arterna förtjänar ytterligare uppmärksamhet. N. oneida-män producerar uppenbarligen RS-HDL-komponenten i mycket lägre kvantiteter än de andra Nasonia-arterna.

Jämförelse mellan grupper utfördes med användning av ett Tukey posthoc-test. PKC? II och PKC? analyserades i totala celllysats med Western blot och storlek CNIA med användning av anti-PKC? II och anti-PKC? antikroppar. Genom genetisk kartläggning och genknockdown, nedsatte de ned den genetiska grunden för enzymer som är involverade i syntesen av denna feromonkomponent till tre nära länkade gener på kromosom 1. Den känsla av välbefinnande eller minskad medvetenhet som produceras av enheterna. Histokemiska och morfologiska

egenskaper hos vastus lateralis-muskeln hos patienter med kronisk obstruktiv lungsjukdom. Ämne där minst en del av endoskopet. Chomczynski P, Sacchi N (1987) Enstegsmetod för RNA-isolering genom sur guanidiniumtiocyanat-fenol-kloroformutvinning. P0-spetsen (MT, 5,5 min) uppstod nästan enbart i sera av alkoholmissbrukare. Ämne där de medel som tillhandahålls till den platta området. Denna webbplats ägs och drivs av Informa PLC ("Informa") med säte 5 Howick Place, London SW1P 1WG.

Vi visar att denna interaktion är medierad av en adaptiv och hardwired olfaktorisk preferens av moth för blommor som erbjuder den högsta nettoeffektbelöningen. Denna teknik erbjuder exakt och exakt mätning av proteiner och deras posttranslationella modifieringar med hjälp av antingen laddningsbaserade eller storleksbaserade separationsformat. Utförde experimenten: AT DRR MCA NP MD JBM TAL OM. AMPK är inte väsentligt för sammandragsinducerad glukosupptagning av glukostransport. Behovet av AMPK? 2 i AICAR-inducerad glukosupptagning är väletablerad (12, 15, 27). Trots att dessa skulle vara viktiga vetenskapliga bidrag är det osannolikt att de kommer att hända, eftersom det enligt vår bästa är den största kohortstudien där njurbiopsier utfördes i normoalbuminuriska T1D-forskningsfrivilliga med en uppföljning tillräckligt länge för att möjliggöra klinisk DN och ESRD utvecklas. Även om en tidigare studie med användning av en liknande uppställning har belyst vikten av blandningskompositionen över blandningsstyrkan 58, kan vi inte avgöra om den här beskrivna preferensen för N. Ämne för mätning (a) impedans av någon del. Ämne där ultraljudsvåg emitteras från.